

大阪大学工学部 正員○前田 幸雄
大阪大学大学院 学生員 大倉 一郎
大阪大学工学部 西山 六朗

まえがき 薄肉鋼構造物に用いられるT型すみ肉溶接継手が縫合し横曲げとうける場合の疲労強度およびき裂の伝播特性を明らかにする爲行つた研究である。SM58, HT80鋼板の溶接継手につけて以前に報告したSS41鋼板についての研究^{1), 2)}と同じ方法の実験を行ひ、破壊力学によつて考察を加えた。

1. 疲労実験の概要と結果

(1) 概要 試験体の形状はFig. 1に示すようにすみ肉溶接によつて接合された短冊形のT断面材で、フ

Table-1 Chemical Compositions (%)

	C	Si	Mn	P	S	Cu	Ni	Cr	Mo	V	B	Ceq
SM-58	0.13	0.33	1.19	0.016	0.009	-	0.060	0.09	0.03	0.03	-	0.35
HT-80	0.10	0.25	0.85	0.008	0.003	0.024	0.098	0.60	0.44	0.04	0.012	0.49

ランジとウェブに同一鋼種を用い、ランジとウェブの板幅は同一の30mm、長さは各々210, 410mm、板厚は鋼種SM58には夫々28, 22mm, HT80には夫々30, 25mmである。溶接の脚長は15mm、溶接棒は低水素系60Fロクラスに対するものと同鋼種に用いた。鋼材の化学成分、試験体の数と公称曲げ応力振幅と夫々Table-1, -2に示してある。又残留応力除去の爲に行つた焼純後の鋼材の機械的性質はTable-3に示してある。油圧サーボ型疲労試験機を用い、縫合し集中荷重を5Hzで固定したランジから150mmの位置でウェブに作用させた。落接止端から10mmの位置で上面と載荷点上面のストレングージによる歪み測定、断面のき裂発生予想位置の0.2mm周囲のクラックゲージによるき裂伝播の記録、ダイヤルゲージによるウェブのたわみ測定を行つた。(2) 結果 き裂長がウェブ板厚の1/2になった時のサイクル数Nと曲げ歪み振幅を応力に換算した応力振幅Sの関係と前回報告のSS41と共に示したものがFig.-2である。200万回疲労強度はSS41, SM58, HT80につけて夫々17.2, 16.8, 13.7kg/mm²となり、静的強度に反比例して本実験の継手の横曲げでは、高張力鋼の場合強度比=(疲労強度/静的強度)のみならず疲労強度そのものが低下することが分る。又応力拡大係数Kにより疲労き裂成長に対する下限界条件を知る爲に、その固有値である ΔK_{th} (下限応力拡大係数振幅)と ΔK 漸減法で求めた。 ΔK_{th} は疲労限度や寿命推定の指標として近年その研究が活発である。本研究では10⁶サイクルにおけるき裂進展が0.2mm以下での状態をき裂の停止とみなし、SM58, HT80材には夫々20.2, 21.2kg/mm^{3/2}が求められた。之に対してSS41材では28.6kg/mm^{3/2}であった。

2. 破壊力学による考察

(1) き裂の伝播速度 Parisらによるき裂の伝播速度 $da/dN = C(\Delta K)^m$, ここで a =き裂長, N =繰返し数, ΔK =応力拡大係数Kの振幅, C, m =材料定数。クラックゲージにより測定された各試験体の da/dN の測定値とその時のき裂先端の ΔK の関係はFig.3 (SM58) とFig.4 (HT80) のようであつた。之からSM58には $m=2.78$, $C=4.01 \times 10^{-10}$, HT80には $m=2.77$, $C=4.87 \times 10^{-10}$ が求められる。SS41には $m=3.20$, $C=2.90 \times 10^{-11}$ であった。又得られた m , C を利用してParis式から計算した da/dN と a の関係と実験で測定

Table-2 Nominal Stress Range		
T.S. No.	G-range (kg/mm ²)	
SM-58	SM-1	36.4
	SM-2	25.7
	SM-3	20.5
	SM-4	17.6
	SM-5	18.8
HT-80	HT-1	43.3
	HT-2	32.6
	HT-3	25.9
	HT-4	18.6
	HT-5	14.5

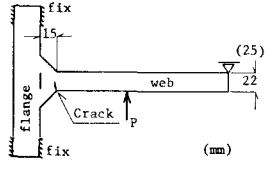


Fig.-1 Test Specimens

Table-3 Mechanical Properties

	σ_y (kg/mm ²)	σ_u (kg/mm ²)
SM-58	57.4	66.9
HT-80	76.3	81.8

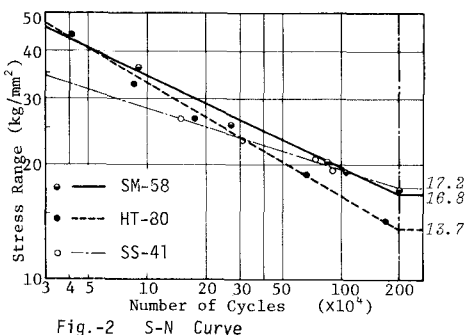


Fig.-2 S-N Curve

奥を黒丸で示した図の一例がFig.-5である。

(2) 疲労寿命の推定 初期き裂長 a_0 から最終き裂長 a_c に成

長ある迄の荷重繰返し数すなわち寿命 N_c は Paris式から

$$N_c = \int_{a_0}^{a_c} dN = \int_{a_0}^{a_c} \frac{da}{C(\Delta K)^m}, \text{ ここで } \Delta K = \frac{6M(a)\sqrt{\pi a}}{W^2 B} F(a/W) \Delta P$$

この式で $F(a/W)$ = 補正式, $M(a)$ = 荷重1kg当りの止端変曲げモーメント, ΔP = 荷重振幅, W = 板厚, B = 板幅である。 $M(a)$ はき裂長 a の関数であり、き裂形状は円弧となり、かつ止端形状が複雑な応力分布も複雑で、FEMによつて計算した結果、補正式 $F(a/W)$ は、

$$F(a/W) = 1.41 - 4.99\lambda + 17.11\lambda^2 - 31.25\lambda^3 + 26.36\lambda^4$$

$$\text{ここで } \lambda = a/W, \lambda \leq 0.7 \text{ 有效。}$$

上式の積分を Newton-Cotes 法によつて行つた計算結果の一例として、 $a_0 = 1.0 \text{ mm}$ の場合の任意の a_c に対する(板厚の半分迄)荷重繰返し数 N_c とき裂長 a_c の関係は Fig.-6 に示した通りである。 a_0 の寸法があまり小さくなれば N_c

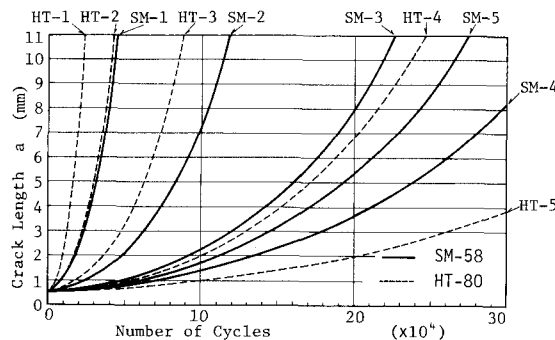


Fig.-6 Crack Length-N(cycle) Curve

の式によつて計算したサイクル数と実測サイクル数は殆んど一致し寿命推定が十分に可能となる。 N_c の式を用いてえられた荷重振幅(ΔP 又は ΔK)をパラメータとして $\log N_c$ と $\Delta K_0 / \Delta K_c$ 又は a_0/a_c の関係をプロットすると通常の疲労設計に用ひる S-N 曲線と同様の曲線が得られる。

3. 疲労寿命低サイクル疲労

プレートガーダーの低サイクル疲労はき裂発生後の公称歪み一定振幅型の疲労と考えることができる。SS41方持式完全面振れ試験体6体について疲労実験を実施した。FEMによる弾塑性解析によりき裂発生後の弾性歪みと塑性歪みの範囲を推定し、この結果を用ひて Manson-Coffin の関係式によつて $\epsilon-N$ 曲線を求めた。きれい長 $a = 0.5 \text{ mm}$ の時のサイクル数 N とその関係を示すと Fig.7 のようである。SS41の高サイクル疲労の $\epsilon-N$ 関係と比較すると、塑性歪み ϵ_p-N の精度は悪いが弾性歪み ϵ_e-N については両者間によい相関が得られた。

1) 31回年講概要集(I-188), 2) 32回年講概要集(I-325)

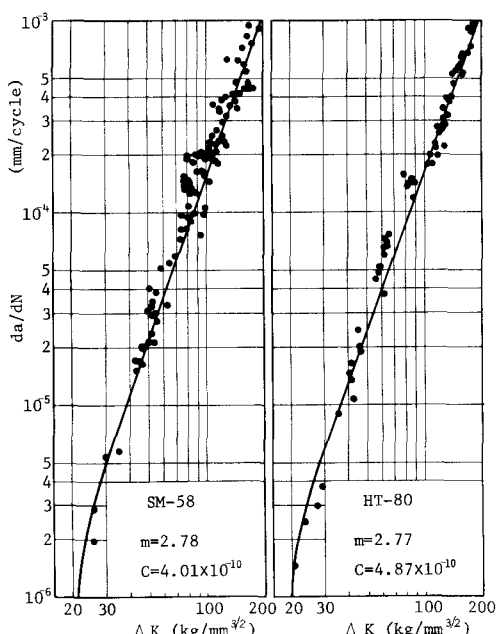


Fig.-3 da/dN-Δ K Curve Fig.-4 da/dN-Δ K Curve

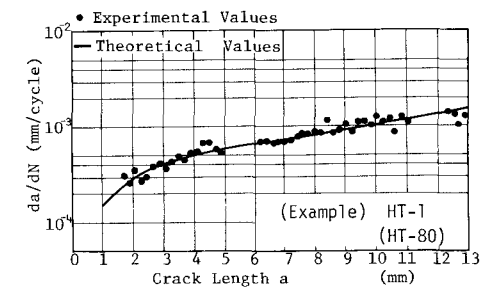


Fig.-5 Crack Propagation Rate

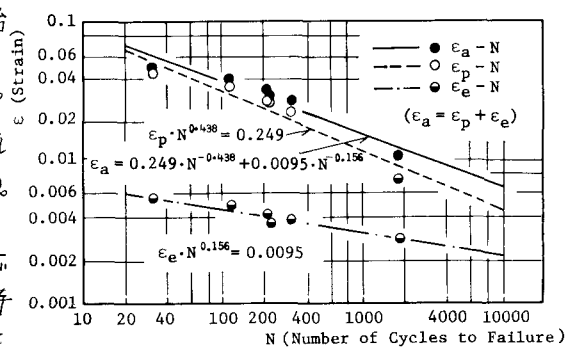


Fig. 7 ε-N Curves (crack length = 0.5 mm)